

764579

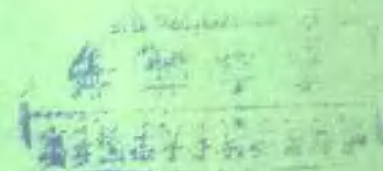
50810

—  
11107

# 机器人机械手

— 数学·程序编制与控制

Richard P. Paul



西北电讯工程学院机器人研究中心

## 丛书出版说明

人工智能是一门利用计算的观点和方法来研究智能的学问。遗憾的是，由于智能为各种信息处理能力和信息表达能力的综合，目前还不可能对智能下一个确切的定义。

诚然，心理学、哲学、语言学及其相关学科为研究智能提供了各种途径和方法。然而就其大部分内容来讲，由于描述得太不完善和太模糊而不能用计算语言来实现。即使我们能从传统的研究中得到一些有用的概念、关系和定理，而且能从中证明智能是确实存在的，但为了全面地研究智能，我们还需要更多的知识。

人工智能为智能研究提供了一种新的方法和途径。其主要目的就是使计算机智能化，即使计算机更有用和能理解智能原理。显然，智能计算机是非常有用的。更重要的是人工智能力图用计算的观点和方法来研究智能，这就给智能的理论研究提供了一个全新的截然不同的基础。研究人工智能的大部份人都认为这些理论能应用到任何智能信息处理单元，不论它是生物的或是固态的。

这里尚有一些值得注意的问题，任何一个能够成功模拟一小部分智能的程序都将是非常冗长和繁琐的。因而人工智能始终受到计算机技术发展的限制。其所遇到的问题是如此困难，如此有趣，至使从事人工智能研究的人员都竭尽全力地为之而奋斗。这样，人工智能的思想得以源源不断地被送到计算机设计中，并且这种传递从没有衰减的迹象。

麻省理工学院出版社(MIT Press)出版这套《人工智能丛书》的目的就是向社会各界的专业技术人员和学生们提供目前世界上各研究中心正在从事工作的一些初步情况。

Patrick Henry Winston  
Mike Brady

## 序 言

这本关于机器人机械手的书综合了下列领域的理论，即计算机绘图、运动学、动力学、控制和程序设计等。本书以教材的形式编写而成，可作为工程和计算机科学方面的本科生和研究生学习机器人学的教材。机器人学是一门新的、涉及面广的学科。它是建立在不断汇集其它学科理论的基础上发展起来的。本书在每一个方向仅提出一个观点。这些理论之所以被挑选出来是因为它们能够组合在一起形成一个解决机械手控制问题有效和一贯的方法。本书的大部分内容都是基础知识，但它们具有新的和不同的概念。动力学一章假定同学们能够接受动力学拉格朗日方程；控制一章运用了拉普拉斯变换；而最后一章程序设计假定同学们具有PASCAL语言知识。

本书是十年来机器人学研究成果的汇总。书中所呈现的内容大部分已被实验所证实，并在目前使用的机器人机械手中获得应用。书中有些内容对过去机械手系统中的某些问题进行了澄清，并简化或补充了原来的理念。所有这些理论都是随着数字计算机的智能化而发展起来的。计算机的计算高速、精度和存储功能已使许多理论问题得到解决。然而，随着大规模集成电路(VLSI)的出现，更多的精确计算问题将获得彻底解决。

本书是参考了在麻省理工学院四年来的讲课笔记，在麻省理工学院智能实验室的大力帮助下编写而成的。本书排印作者使用了Knuth's Tex系统。书中出现的许多理论是作者在斯坦福大学智能实验室的研究成果；作者感谢约翰·麦克卡锡和杰罗姆·费尔得门，他们为作者进行研究工作提供了许多方便。作者感谢安东尼·珀杰西，力学一章是在他的工作基础上写成的。感谢波鲁斯·西耶诺，他对大部分理论的发展起了重要作用。作者非常高兴由于米克·布拉德和艾里克·耶利纳提供的

支持使它最后得以印刷。约翰·伯克，米克·布拉迪，威廉·费斯尔，托马斯·鲁亚诺——佩雷斯，约翰逊·鲁哈和布鲁斯·西马诺阅读了本书的全部手稿并订正了许多错误。余下的工作全由作者完成。朱尔斯·保罗帮助了本书记的再版和版面变化工作。

## 绪 论

本节讲述工业机器人机械手、编程及其上传感元件的相互作用。将详细讨论机器人机械手的编程和控制问题，对于像视觉这样的外部传感器，仅当它们和机械手发生联系时才加以讨论。为了全面地理解各章的内容，首先回顾一下工业机器人的概况及扩展其功能时所遇到的问题。

当代工业机器人起源于数控机床和远程操作器。远程操作器或遥控装置是一种允许操作人员在一定距离外能完成某一任务的装置。数控机床是一种根据切削数据的数字编码，自动完成工件加工的机床。

遥控装置是二次世界大战期间为处理放射性材料而研制的[Goertz]。操作者和放射性材料用一混凝土墙隔开，墙上有一个或几个可以观察到放射性材料的孔。此时，远程操作器用以代替操作人员的手。它内部装有一对夹子（从动件），外部装有两只手柄（主动件）。夹子和手柄有了六自由度的机构联结在一起，为主动件和从动件提供任意的位置和方位。机构用来控制从动件再现主动件的运动。

1947年，第一台伺服驱动远程操作器研制成功。从动件用伺服控制来跟踪主动件的位置。尽管操作人员能够观察到工作现场，但由于没有给操作人员提供任何力的信息，因而要求部件产生接触的工作难以完成。Geertz 生辟地叙述了远程操作手的功能和工作过程：“通用机械手可用于搬运物体，推动连杆和把手，装配零件和作为操作吸手。在所有这些操作中，当所希望的力及力矩施加到物体上之前，机械手必须与物体接触。当机械手与物体接触时会发生碰撞。操作过程基本上是由以下运动组成：消除不期望力引起的碰撞、施加期望的力和施加期望的运动。碰撞力应尽可能地小，其它不期望的力也要尽可能的小。”

1948年，即步进控制器试验成功一年以后，一个新型的远程操作器研制成功了。在这种装置中，步进电机驱动力可以通过反馈来告诉操作者。同时，操作者又可以知道步进电机做了什么动作。

1949年，由于需要研制新型飞机，这种飞机的零件是用机床加工出来的而不是用铆钉铆接的，空军发起了对数控铣床的研究[Rosenberg]。这项研究在于把后来的伺服技术与最近发展起来的数字计算机技术结合起来。待切割的形状以数字的形式存储在穿孔卡带上，然后伺服控制铣床根据卡带上的数字切割金属。MIT辐射实验室于1953年研发出了这样的机器。

六十年代，George Devol研制出了第一台通用工业机械手[Engelberger]。这是一台将远程操作器的杆机构与数控铣床的伺服机构结合起来的设备。我们可以通过用于将机械手沿一系列直线运动，这些直线的位置以数字的形式存储起来，让该机械手完成任何简单的工作。动作的执行在于使伺服系统驱动机械手各关节轴，来再现这些位置。这些动作仅限于使用夹子或终端执行器，向终端设备提供信号和等待同步信号。该工业机械手：诸如从拆卸铸模工件这样的搬运工作是很理想的。在拆卸铸模工件工作中，机械手的工作顺序是：抓起工件——把工件取出模子——把工件放到传送带上。相对于机械手而言，零件在每一个位置都能实现精确定位。象数控(NC)铣床一样，该工业机械手的成功也依赖于高精度、可重复的数字伺服系统。机械手与其工作对象之间没有相互联系。如果铸模机移动位置，机械手就无法工作，这恰似工件位置发生改变时，数控铣床不能工作一样。但倘若铸模机移动位置，可以对机械手重新示教。该工业机械手的成功之处在于它应用于任何工作位置确定的工作，其可靠性和位置可重复性增加了其适应性。

1961年 MIT的 Lincoln 实验室完成了另一项设计[Ernst]。

在这台装置中，装有触觉传感器的远程操作器伺服臂和计算机连接起来。这时，指令机械手执行工作的是来自手端执行器的触觉反馈，而不是绝对位置反馈。尽管机械手的空间绝对位置能够计算出来，但没有采用，因为当时人们没有进行求解手位置的几何计算。相反，工作被定义为一系列可能接触的状态。而象缺少工作信息限制了位置控制工业机器人的功能一样，由于不知道物体位置的综合概念而限制了这种机械手的功能。

1963年，Roberts [Robots 63]证明了通过对数字照相板图像处理，得到对组成图像的块状物体进行数学描述的可能性，方法是用齐次坐标变换来表达物体的位置和方位 [Roberts 65]。这项工作之所以重要，是基于下列两个因素：(1)它证明了物体在大部分照相板图像中进行识别和定位；(2)它引入了齐次变换，并把齐次变换用作为描述物体间相对位置和方位的数据结构。如果物体间的相对位置和方位用齐次变换表示，变换矩阵的乘积运算就建立了物体间的全部关系。第一章里学习齐次变换，本节中将用它来描述物体间、物体与机械手之间的相对位置和方位。

由于接触反馈精度低，速度慢，后来一般都用视觉传感作为输入装置。1967年，一台把电视摄像机作输入装置的计算机已能实时地识别物体并确定其位置 [Wichman]。该机械手没有接触传感器，仅依赖于位置伺服关节轴。然而，齐次变换表示了终端执行器至笛卡尔坐标系的位置和方位，而不是表达为一系列非正交机械手关节之间的夹角。Pieper 应用闭迹理论解决了此问题，这样，机械手就可以在空间笛卡尔坐标系运动 [Pieper]。在第二章里，对于给定的输入，得到了求解终端执行机构在笛卡尔坐标系下的位置和方位的方位。位置和方位以齐次坐标表示。在第三章里，讨论逆问题的解法，即对于终端执行机构已知的机械手，求解其各关节的坐标。这丁问题相当困难，是进

直观判断，仅当机械手比较简单，关节数目较少时才能得到解析解。可喜的是目前大部分工业机械手都是这种类型并且是可解的。

1970年，一台配有照相装置和机械手的计算机已能够适应各种结合的工作，同时，斯坦福大学成功地解决了“随机撮动问题”[Feldman]。其方法是将表及具有不同颜色的四个立方体堆放在一起，使得堆放体的每一个都具有不同的颜色。麻省理工学院现在有一这样的装置可供参观和复制。日本研创成功了一个手一眼系统，当给出装配图时，该系统可以装配块状工件。它首先观察装配图，存贮观察到的数据，然后追上所要求的结构[Ejiri]。这一研究的潜在应用在于空间探测和工厂自动化。相应于这些目标，视觉研究的任务是如何区分零件和岩石这样很相似的东西，而机械手的研究方向则是产品装配。

利用视觉传感工作的机械手常需要进行小量动作调整。在第四章里，讨论当机械手要做这些调整运动时，物体与机械手之间的关系。当机械手工作在随机结合时，如上述结合，直接把机械手从一个位置移到另一个位置就行不通了。因此引入了运动轨迹的概念。第五章首先以齐次坐标为基础，引入工作的基本形式，然后给出研究关节坐标和笛卡尔坐标这两种运动轨迹形式的理论和方法。由于引入了轨迹的概念，原先用于控制机械手的简单三位伺服系统就不能满足要求了。第六章讲述机械手动力学，这是第七章讨论机械手控制的基础。机械手动力学很难解，其中主要的问题是判别对机械手控制有重大影响的项。这里先用拉格朗日方程求得动力学方程，然后根据第四章得出的微分关系，简化结果方程以得到用符号形式表示的关键控制方程。为了使读者能对整个问题有清楚的认识，控制一章使用了古典控制方法。实际的机械手的控制通常却互不相同，因此这里所讲述的方法仅作为指导原则。

尽管视觉能有力地帮助机械手确定工件的位置，但它对于许多堆

放这类问题毫无益处。这时所需要的足力反馈。力反馈，如上所述，在他位置控制研究一年后就运用到远程操作器中。日本的 Inoue 研制出了驱动电机的机械手 [Inoue]。其方法是以恒定的力矩驱动机械手相应的关节，而不是象往常那样对关节轴进行点位伺服控制。斯坦福大学把 Inoue 方法应用到机械手系统中，该机械手在向应确定关节坐标系内依从方向的指令时，其各关节由计算机和力伺服装置自动选定，而不是靠点位伺服系统来完成 [Paul 72]。第八章讨论在不同坐标下，力和力矩与机械手关节力矩间的关系。第九章研究在使用自由度与关节匹配的方法时，为装配提供依从运动的必要性 [Shimano]，利用这种方法，斯坦福大学设计出了一种叫做 WAVE 的语言。使用这种语言，工作者可以阅读坐标系里的符号，以及必要的依从和抓取指令文本 [Paul 77a]。1972 年，利用这种方法成功地组装了一台水泵 [Balles]。WAVE 系统之所以重要，原因之一在于它第一次把力、触觉、视觉和位置反馈综合在一起考虑，并且用齐次变换的方法，表达它们在实际数学模型中的关系。

当在实验室进行这些研究时，工业机器人越来越趋向于对运动进行控制，并且试图用提高工作的方法来改善点位控制机器人的经济性。为了扩展机器人的工作范围，人们把更多的精力放在主机的设计上。Cincinnati Milacron 设计了第一台计算机控制机器人 [Hohn]。该机器人能够和传送带一起使用，传送带的位置由数字编码器确定。计算机用一排共固定坐标系和动坐标系间的位置变换所需要的信息。

在第十章里讨论机械手编程语言。这里不研究用于机械手的特殊语言，而是把 PASCAL 语言作为机械手的控制语言，以弄清楚机械手编程的基本问题。计算机及其编程语言是工业机器人的基本组成部分，它们在力量通用传感器和一直用驱动装置之间用作为逻辑、数字和信息变换接口。

计算机控制工业机器人是真正的通用自动装置。这种机器人可以随时通过编程来满足不同工作的需要，并可以降低设计费用和减少用传统方法设计自动装置时所需要的工作量。它可以使产品生产自动化，其低成本特点又可以使小批量生产场合的自动化生产成为可能。这样的工业机器人今后将完全改变社会生产方式，象今天这样的简单、重复性装配工作应由机器人来完成，而由人来完成的将减少到最低程度。

## 参考文献

- Bolles, R. & Paul, R. P. The Use of Sensory Feedback in a Programmable Assembly System. The Stanford Artificial Intelligence Laboratory, Stanford University, AIM-220, Oct. 1973.
- Ejiri, M., Uno, T., Yoda, H., et al. "A Prototype Intelligent Robot That Assembles Objects from Plane Drawings," *IEEE Trans Computers C-21*, 2 (Feb. 1972), 199-207.
- Engelberger, J. F. *Robotics in practice*, IFS Publications Ltd., Kempston, England, 1980.
- Ernst, H. A. A Computer-Operated Mechanical Hand, Sc.D. Thesis, Massachusetts Institute of Technology, 1961.
- Feldman, J. et al. "The Use of Vision and Manipulation to Solve the Instant Insanity Puzzle," proc. Second Int'l Joint Conf. on Artificial Intelligence, London, England, 1971, 359-364.
- Goertz, R. C. "Manipulators Used for Handling Radioactive Materials," *Human Factors in Technology*, Chapter 27, edited by E. M. Bennett, McGraw-Hill, 1963.
- Hohn R. E. Application Flexibility of a Computer Controlled Industrial Robot, SME Technical paper, MR 76-603, 1976.
- Inoue, H. "Computer Controlled Bilateral Manipulator," *Bulletin of the Japanese Society of Mechanical Engineers* 14, 69 (1971), 199-207.
- Paul, R. P. Modeling, Trajectory Calculation and Sizing of a

- Computer Controlled Arm, Stanford Artificial Intelligence Laboratory, Stanford University, AIM 177, 1972.
- Paul, R.P. WAVE: A Model-Based Language for Manipulator Control. *The Industrial Robot* 4, 1 (March 1977), 10-17
- Pieper, D.L. The Kinematics of Manipulators Under Computer Control, Stanford Artificial Intelligence Laboratory, Stanford University, AIM 72, 1968.
- Roberts, L.G. Machine Perception of Three-Dimensional Solids, Lincoln Laboratory Massachusetts Institute of Technology, Report No. 315, 1963.
- Roberts, L.G. Homogeneous Matrix Representation and Manipulation of N-Dimensional Constructs. Lincoln Laboratory, Massachusetts Institute of Technology, Document No. MS1045, 1965.
- Rosenberg, J.A. History of Numerical Control 1949-1972: The Technical Development, Transfer to Industry, and Assimilation, U.S.C. Information Sciences Institute, Marina del Rey, California Report No. ISI RR-72-3, 1972.
- Shimano, B.E. The Kinematic Design and Force Control of Computer controlled Manipulators, Stanford Artificial Intelligence Laboratory, Stanford University, AIM 313, 1978.
- Wichman, M.W. The Use of optical Feedback in Computer Control of an Arm, Stanford Artificial Intelligence Laboratory, Stanford University, AIM 57, 1967.

## 出版说明

Richard P. Paul 所著 *Robot Manipulators* 一书系统地讨论了机器人机械手的有关理论（包括数学、力学、控制和程序设计等），是目前国外有影响的教科书。本书可作为研究生、高年级学生教材，也可供广大从事机器人机械手研究人员进修用。

考虑到目前的迫切需要，由机器人研究中心组织有关教师、研究生翻译审校本书，由学院情报资料组组织出版。

参加翻译的有张锡达同志（前言）、孙怀安同志（第一、二、三、六章）、王麟森同志（第四、五、八章）、李瑞蒙同志（第七章）、常文戈同志（第九章）、李正根同志（第十章）。全书由王麟森同志和孙怀安同志负责名词统一和编辑工作。辛萍同志校对了第四章。最后由陈怀理副教授、张以立副教授和杨健副教授对进行了审核。

在教育和翻译中，对原文中的许多错误作了校正，校正之处不再一一说明。由于出版期限短，错误之处请读者指正。

西北电机工程学院 机器人研究中心  
情报资料组

# 目 录

序言

概论

第一章 齐次变换 1-1~1-34

第二章 运动方程 2-1~2-22

第三章 运动方程的解 3-1~3-20

第四章 微分关系 4-1~4-36

第五章 运动轨迹 5-1~5-38

第六章 动力学 6-1~6-38

第七章 控制 7-1~7-20

第八章 静力 8-1~8-13

第九章 依从性 9-1~9-16

第十章 程序设计 10-1~10-33

# 第一章 齐次变换

## 1.1 前言

研究机器人的操作涉及到目标之间以及目标和机械手之间的关系。本章将拟出描述这些关系所必需的表示法。类似的表示法问题已在计算机绘图领域中得到解决，它也必须描述目标之间的关系。齐次变换用于本领域中和计算机图象中 [Duda] [Roberts 63] [Roberts 65]。这些变换曾被坦纳维特 (Denavit) 用来自描述连杆机构 [Denavit] 而现在用来自描述机械手 [Pieper] [Paul 72] [Paul 77b]。

我们将首先建立向量和平面的标识符，然后引入关于它们的变换，这些变换主要包括移动和旋转，它们可以看成为用来表示目标（包括机械手）的坐标系。我们也将引入反变换。最后一节描述统一向量旋转为一般旋转变换。然后描述一个算法，以找出由任一给定的变换所代表的等效旋转轴和旋转角。关于延伸和比例变换的简洁的一节与透视变换一节同时引入。本章以变换方程一节结束。

## 1.2 标识符

在描述目标的相互关系时，将用到点、向量、平面和坐标系。点向量用小写黑体字母表示。平面用手写体字母表示，而坐标系则用大号黑体字母表示。例如

向量  $\mathbf{v}, \mathbf{x}_1, \mathbf{x}$

平面  $P, Q$

坐标系  $I, A, CONV$

我们将用点向量、平面和坐标系表示具有相应数值的变量，例如一个点向量具有三个笛卡尔坐标分量。

如果要相对于坐标系  $E$  在空间中一点  $P$ ，可用向量  $\mathbf{v}$  而将其

写成  $V^E$ ，左上标表示所定义的坐标系。

我们也可能要相对于不同的坐标系，例如  $H$  来描述同一点  $P$  可用向量  $W$  将其写成  $W^H$ 。

虽然两个向量  $V$  和  $W$  描述同一点，但是  $V$  和  $W$  可能是具有不同坐标分量的两个向量， $V \neq W$ 。同样存在这样的情况，一个向量  $a$  描述在任何一个坐标系中 3 英吋的点

$$F_1 a \quad F_2 a$$

在这种情况下，两个向量是等同的，但是描述了两个不同的点。通常若从上下文中坐标系是显而易见的，则左上标常常被省去。在许多情况下，向量的名称与所描述的目标的名称是相同的，例如一个锯子的顶端可用一个相对于坐标系  $BASE$  的向量  $tip$  来表示为

$$BASE_{tip}$$

如果从语义中可明显地看出所描述的向量是相对于  $BASE$  的，则可简写成

$$tip$$

如果希望相对于另一坐标系来描述该点，例如  $HAND$ ，就必须利用另一向量来描述这个关系，如

$$HAND_{tip}$$

$HAND_{tip}$  和  $tip$  都描述同一目标，但具有不同的数值。为了涉及坐标系、点向量或平面的单独分量，可如下标以表示特殊的分量。例如向量  $HAND_{tip}$  具有分量  $HAND_{tipx}$ 、 $HAND_{tipy}$ 、 $HAND_{tipz}$ 。

### 1.3 向量

$n$  维空间中的目标的齐次坐标表示法是一个  $(n+1)$  维的实体空间，经一特殊类的透视投影就重新产生了一个  $n$  维空间。这也可看作对于每一个向量又附加了一个额外的坐标，即一个比例系数，于是，

如果每一个分量（包括比例系数）乘以一个常数，所得的向量就具有相同的意义。

### 一个点向量

$$\mathbf{v} = a\mathbf{i} + b\mathbf{j} + c\mathbf{k} \quad (1.1)$$

式中  $\mathbf{i}, \mathbf{j}, \mathbf{k}$  分别为坐标轴  $x, y, z$  的单位向量，该向量用齐次坐标中的列阵表示为

$$\mathbf{v} = \begin{bmatrix} x \\ y \\ z \\ w \end{bmatrix} \quad (1.2)$$

式中

$$\begin{aligned} a &= x/w \\ b &= y/w \\ c &= z/w \end{aligned} \quad (1.3)$$

这样，向量  $3\mathbf{i} + 4\mathbf{j} + 5\mathbf{k}$  可以表示为  $[3, 4, 5, 1]^T$ ，或  $[6, 8, 10, 2]^T$  或  $[-30, -40, -50, -10]^T$  等等。上标 T 表示行向量转置成列向量。在坐标原点的向量，即零向量，用  $[0, 0, 0, n]^T$  表示，其中  $n$  是一个非零比例系数。向量  $[0, 0, 0, 0]^T$  是不足的。例如  $[a, b, c, 0]^T$  的向量代表一个至无穷远处的向量，用来表示方向，加上其后的有限向量都不以任何方式改变其值。

我们还将用到向量的点积和叉积。设有两个向量

$$\begin{aligned} \mathbf{a} &= a_x\mathbf{i} + a_y\mathbf{j} + a_z\mathbf{k} \\ \mathbf{b} &= b_x\mathbf{i} + b_y\mathbf{j} + b_z\mathbf{k} \end{aligned} \quad (1.4)$$

定义向量的点积用“.”表示为

$$\mathbf{a} \cdot \mathbf{b} = a_x b_x + a_y b_y + a_z b_z \quad (1.5)$$

两个向量的点积是一个标量。叉积用“×”表示，是另一个向量，它垂直于两个向量所形成的平面，且由下式定义